



## Лекция 3. Топология нейронных сетей. Синхронизация

*Николай Ильич Базенков, к.т.н.*

*Институт проблем управления им. В.А. Трапезникова РАН*

*Летняя школа РАИИ, 5-18 июля 2021 г.*

# План

1. Введение в теорию сложных сетей
2. Сети в мозге
  1. Экспериментальные методы
  2. Коннектом
3. Синхронизация
  1. Экспериментальные наблюдения
  2. Модели осцилляторов
  3. Синхронизация в сетях простых нейронов

# Что такое сеть

Сети, или графы, служат для описания бинарных отношений между объектами.

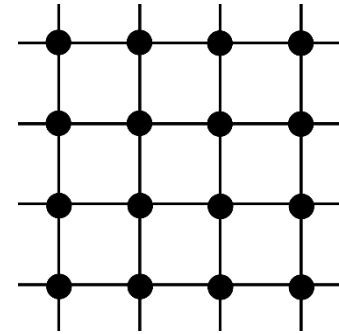
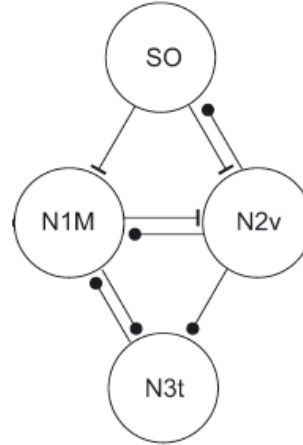
Сеть (граф)  $G(V, E)$  задается множеством узлов (вершин)  $V$  и множеством ребер  $E$

- Алиса и Боб друзья – неориентированное ребро
- Шарик любит колбасу – ориентированное ребро

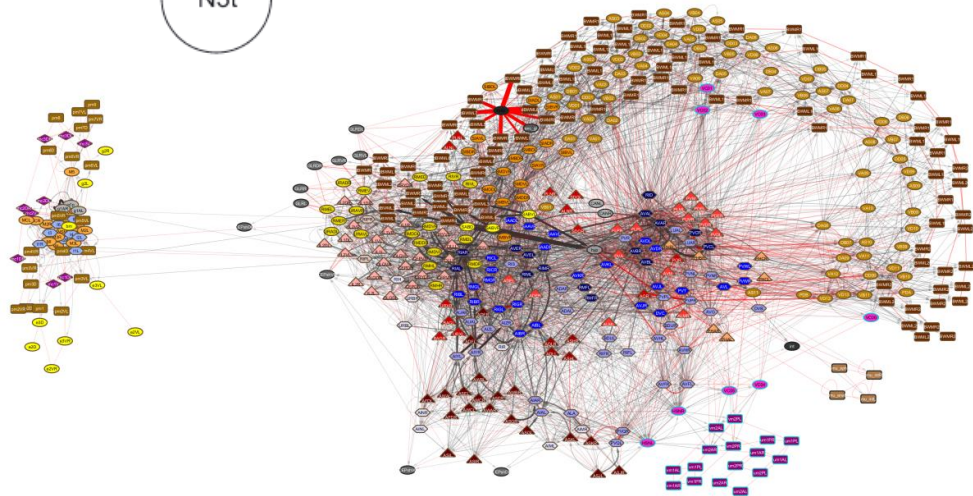


# Сложные сети

## Простые сети



## Сложные сети

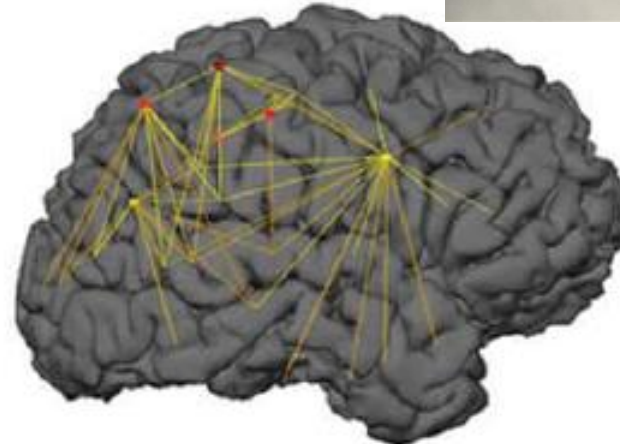
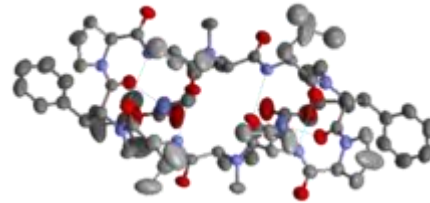
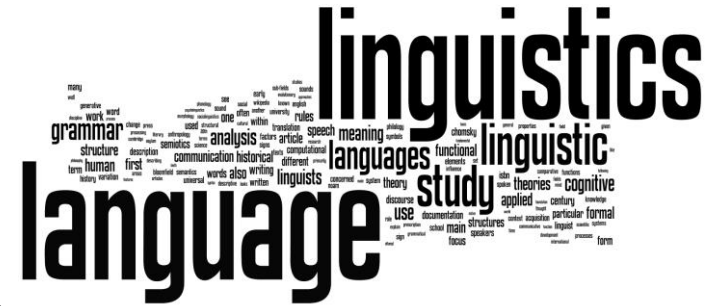


Vavoulis, D. et.al. 2007. Dynamic control of a central pattern generator circuit: a computational model of the snail feeding network. (2007)

<https://wormwiring.org/pages/network%20diagrams.html>

# Сложные сети

- Биология:
  - Генные сети
  - Нейронные сети мозга
- Социальные сети
- Компьютерные сети (Интернет)
- Транспортные и инфраструктурные сети
- Лингвистические и когнитивные
- Финансовые и экономические



# Как описать сложную сеть?

## Основные характеристики :

- Связность и длина путей
- Кластеризация узлов
- Распределение степеней
- Модулярность

## Вспомогательные:

- Ассортативность (связи возникают между похожими узлами)
- «Клуб богатых» (Rich club network) – большая доля связей приходится на небольшую долю узлов

## Математическое моделирование:

Построить модель формирования сети, которая воспроизводит характеристики реальных сетей

Bullmore, E., & Sporns, O. (2009). Complex brain networks: graph theoretical analysis of structural and functional systems. *Nature reviews neuroscience*, 10(3), 186-198.

# Связность и длина путей

## Связность

Граф (неориентированный) связан, если между любыми двумя вершинами существует путь

## Сильная и слабая связность

Ориентированный граф сильно (слабо) связан, если между любыми вершинами существует путь с учетом (без учета) ориентации

## Плотность

Отношение числа ребер в графе к числу ребер в полном графе

## Диаметр

Длина пути между двумя наиболее удаленными друг от друга вершинами

# Плотность сложных сетей

Сложные сети, как правило, связные и разреженные.  
Число ребер намного меньше числа ребер в полном графе.

Сеть	C.Elegans	WWW (nd.edu) 1999	WWW 2014	LiveJournal RUS 2011	Facebook 2011
Количество узлов	272	$3.26 \times 10^5$	$1.7 \times 10^9$	$2.92 \times 10^5$	$7.21 \times 10^8$
Количество ребер	4451	$1.47 \times 10^6$	$64 \times 10^9$	$6.2 \times 10^6$	$6.87 \times 10^{10}$
$\frac{2 E }{n(n-1)}$	0.06	$1.39 \times 10^{-5}$	$2.21 \times 10^{-8}$	$7.27 \times 10^{-5}$	$1.32 \times 10^{-6}$



# Связность в сложных сетях



Стэнли Милгрэм

Население США в 1967  $\approx$  200 млн чел  
Длина пути  $\approx$  5 посредников (6 рукопожатий)

S. Milgram The Small-World Problem. – 1967

# Распределение степеней

## Степень вершины

Количество ее ребер в графе

## Распределение степеней

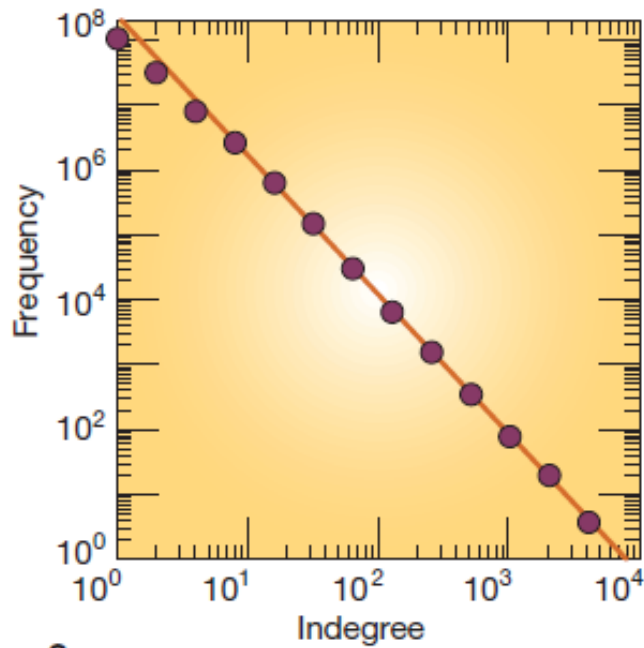
$p(k)$  – доля узлов степени  $k$  в графе

**Степенной закон** (безмасштабное распределение)

$$p(k) \sim k^{-\gamma}$$

$$\gamma > 1$$

# Безмасштабные распределения



Распределение степеней  
Интернета подчиняется  
степенному закону с  
показателем  $2 < \gamma < 3$



Albert-László  
Barabási



Réka Albert

R. Albert, A.-L. Barabasi  
Emergence of scaling in random  
networks. – 1999

# Кластеризация

## Кластеризация

Плотность связей между соседями некоторой вершины  $i$  больше, чем между случайными узлами в графе

Коэффициент кластеризации  $C_i$  вершины  $i$  :

$$C_i = \frac{2e_i}{k_i(k_i - 1)}$$

$e_i$  - число связей между соседями вершины  $i$

$k_i$  – степень вершины  $i$

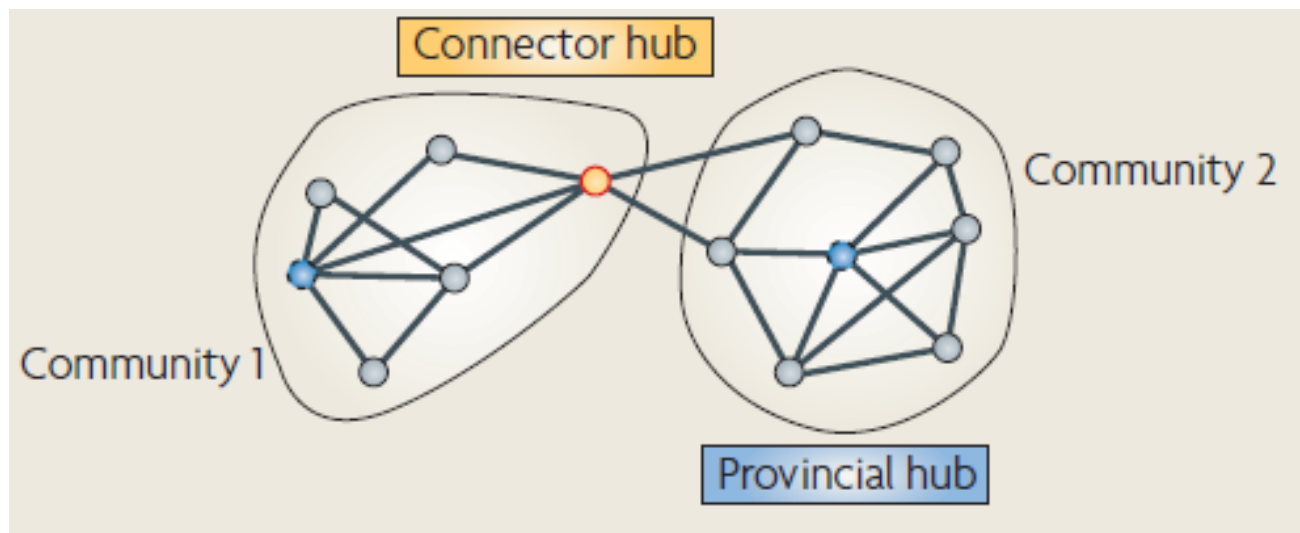
В сложных сетях кластеризация, как правило, высокая

# Модулярность и сообщества

Сложные сети часто организованы как отдельные сообщества, связанные редкими связями через хабы

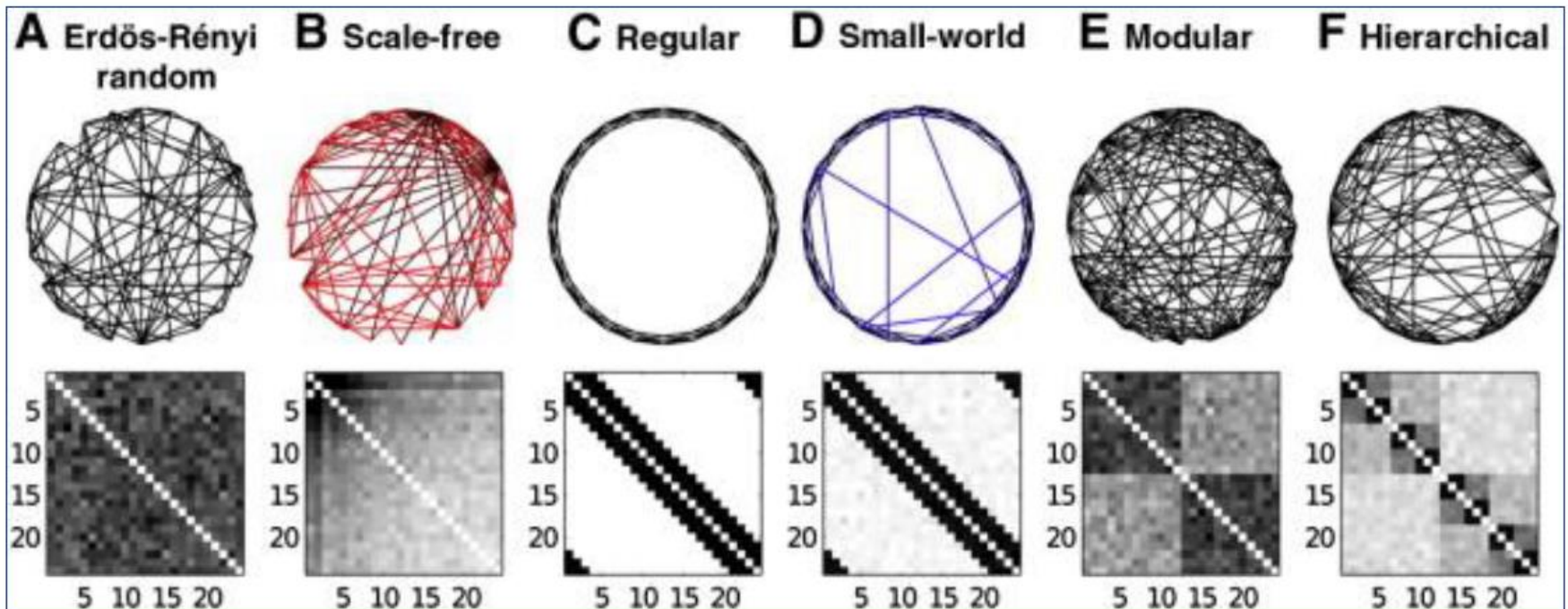
## Сообщество

Группа узлов, которые связаны друг с другом теснее, чем с другими узлами в сети



# Модели сетей

- Регулярные сети
- Случайные сети
- Сети тесного мира
- Безмасштабные сети



# Случайные графы



Поль Эрдёш



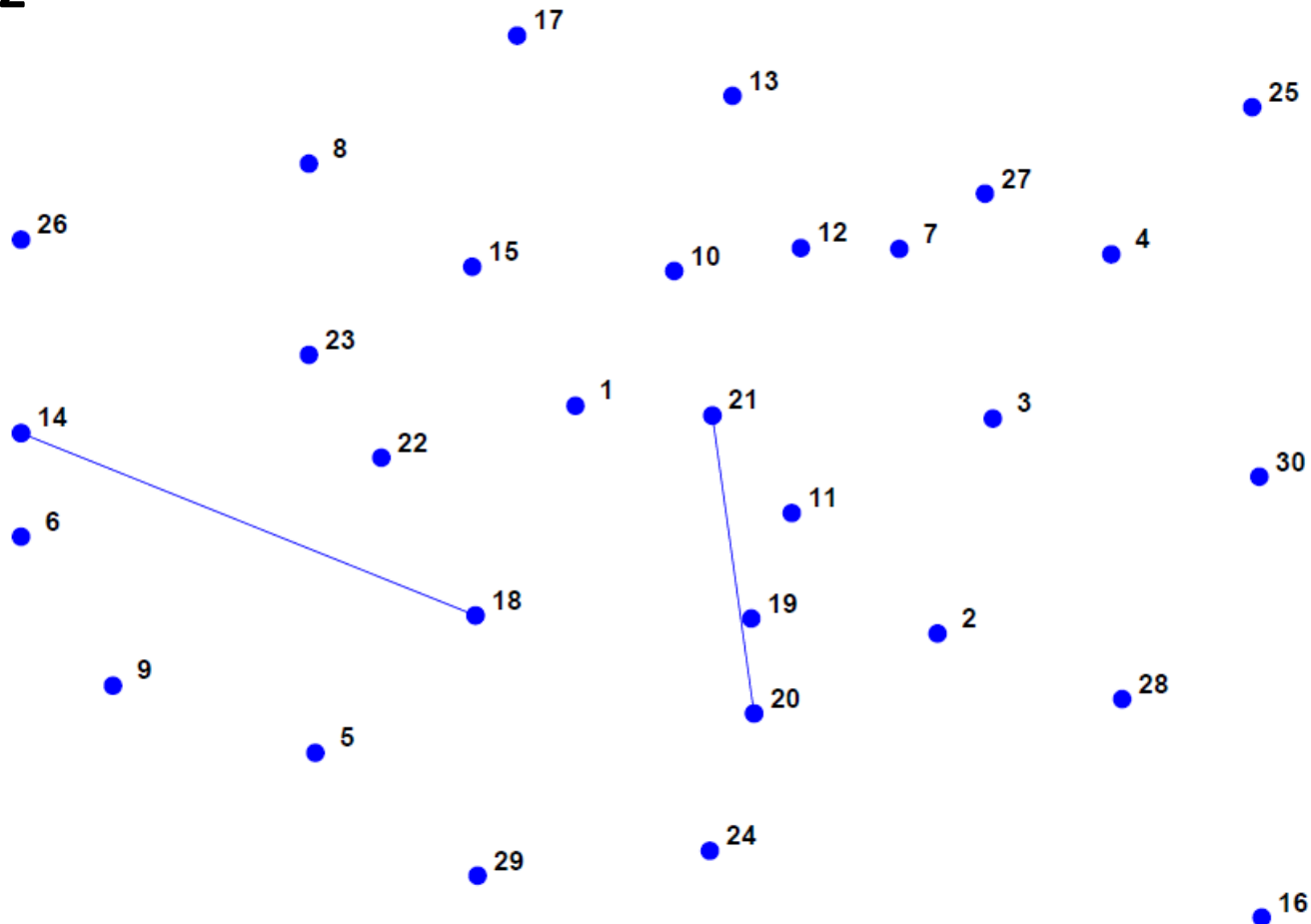
Альфред Реньи

Erdos P., Renyi A. On Random Graphs. – 1959

# Случайные графы

Ребро между парой вершин появляется с вероятностью  $p$

$P=0.02$

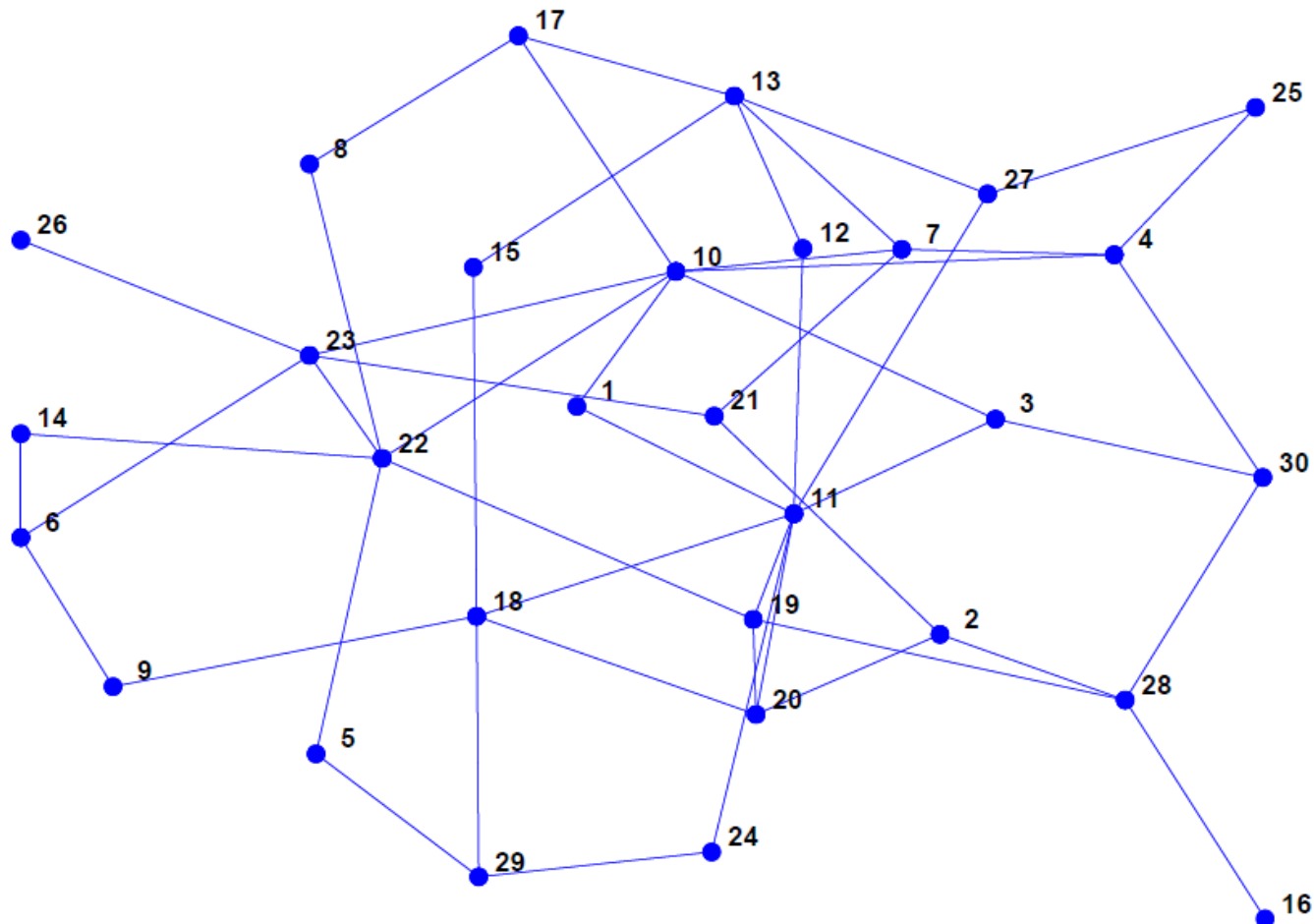




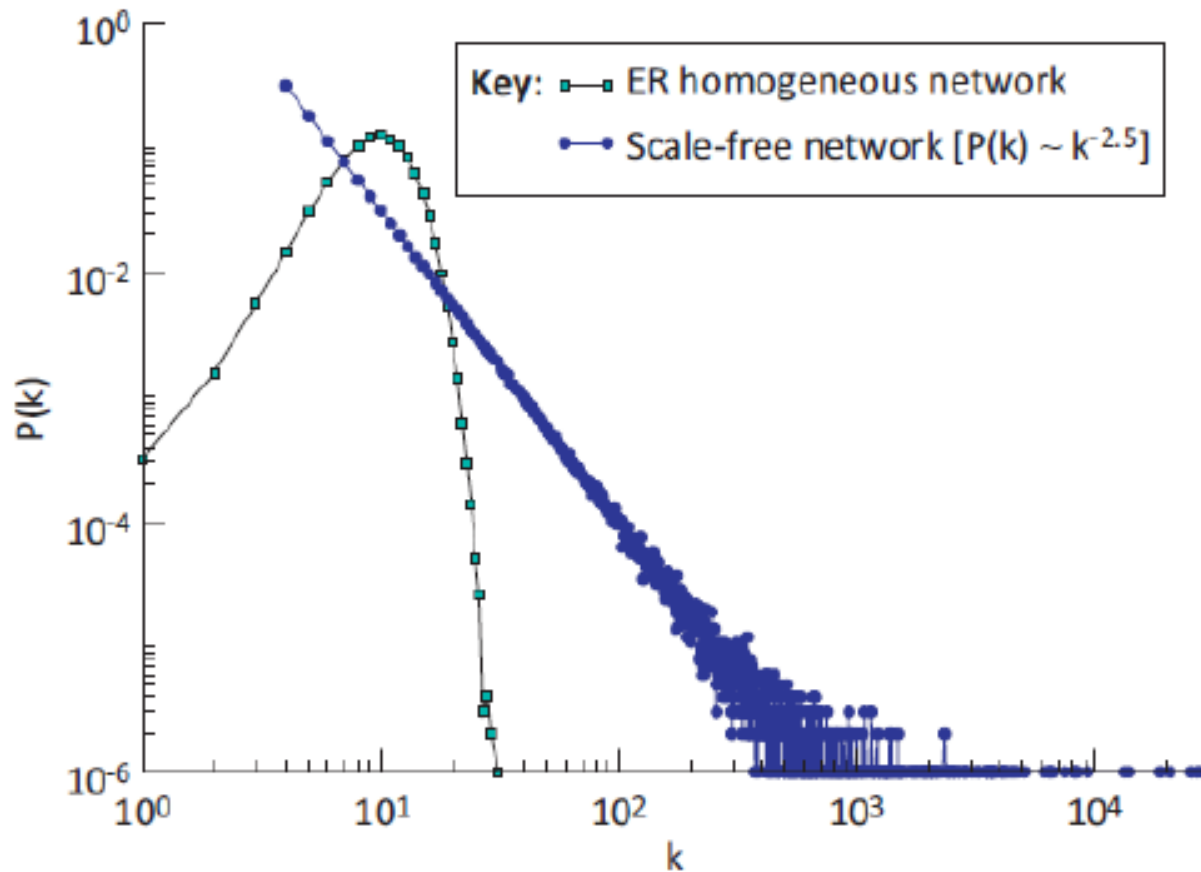
# Случайные графы. Связность

Начиная с некоторой вероятности  $p$ , случайный граф почти всегда связан.

**Пример:  $p=0.2$**



# Распределение степеней



**Безмасштабные сети**

$$p(k) \sim k^{-\gamma},$$
$$\gamma > 1$$

**Случайные графы**

$$p(k) \sim \frac{\lambda^k}{k!} e^{-\lambda}$$

# Свойства случайных графов Э-Р

**Связность** – при достаточно большой плотности ребер

**Длина пути** – уменьшается с ростом плотности

**Распределение степеней** – стремится к Пуассоновскому с ростом числа узлов

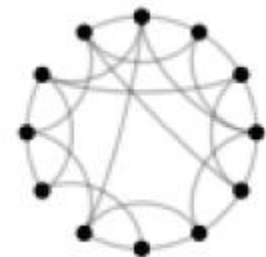
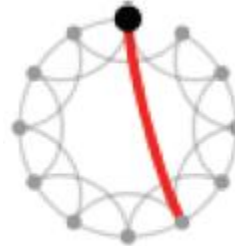
**Кластеризация** – низкая

Несмотря на то, что свойства случайных графов плохо отражают свойства сложных сетей, их часто используют для моделирования сети с неизвестной топологией

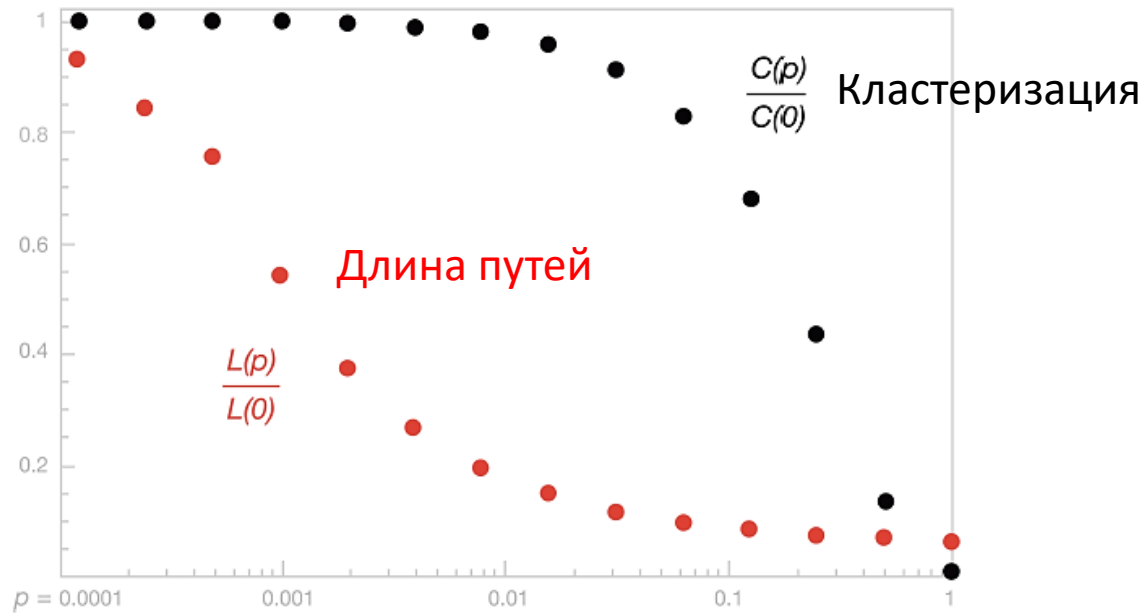
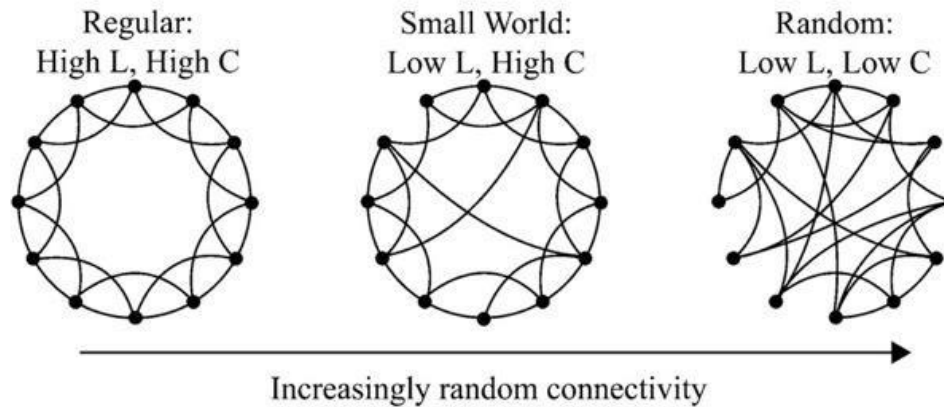
# Сети тесного мира

## Формирование тесного мира

1. Расположим вершины на окружности
2. Соединим каждую вершину с  $k$  ближайших соседей
3. С вероятностью  $p$  разорвем ребро и соединим со случайной вершиной
4. Повторим п.3 для каждого ребра



# Сети тесного мира



регулярный граф

$p$

случайный граф

# Свойства модели Уоттса-Строгатца

Граф связный, при этом разреженный

Малая длина путей

Высокая кластеризация

Распределение степеней похоже на случайный граф

Похоже на свойства реальных сетей:

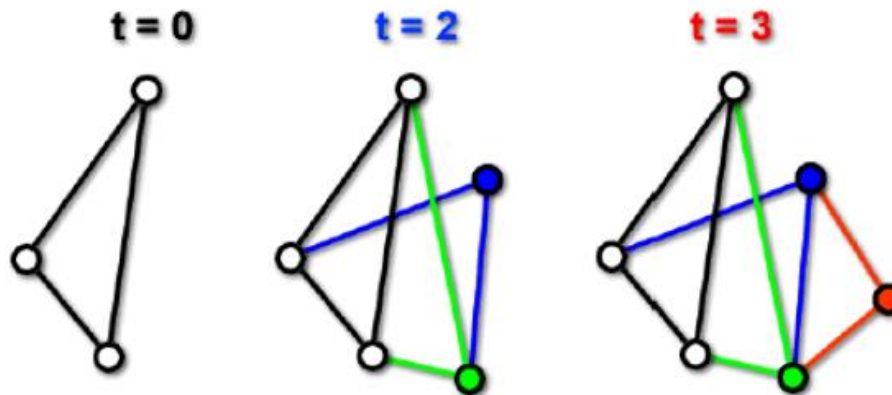
	$L_{\text{actual}}$	$L_{\text{random}}$	$C_{\text{actual}}$	$C_{\text{random}}$
Film actors	3.65	2.99	0.79	0.00027
Power grid	18.7	12.4	0.080	0.005
<i>C. elegans</i>	2.65	2.25	0.28	0.05

# Модель предпочтительных присоединений

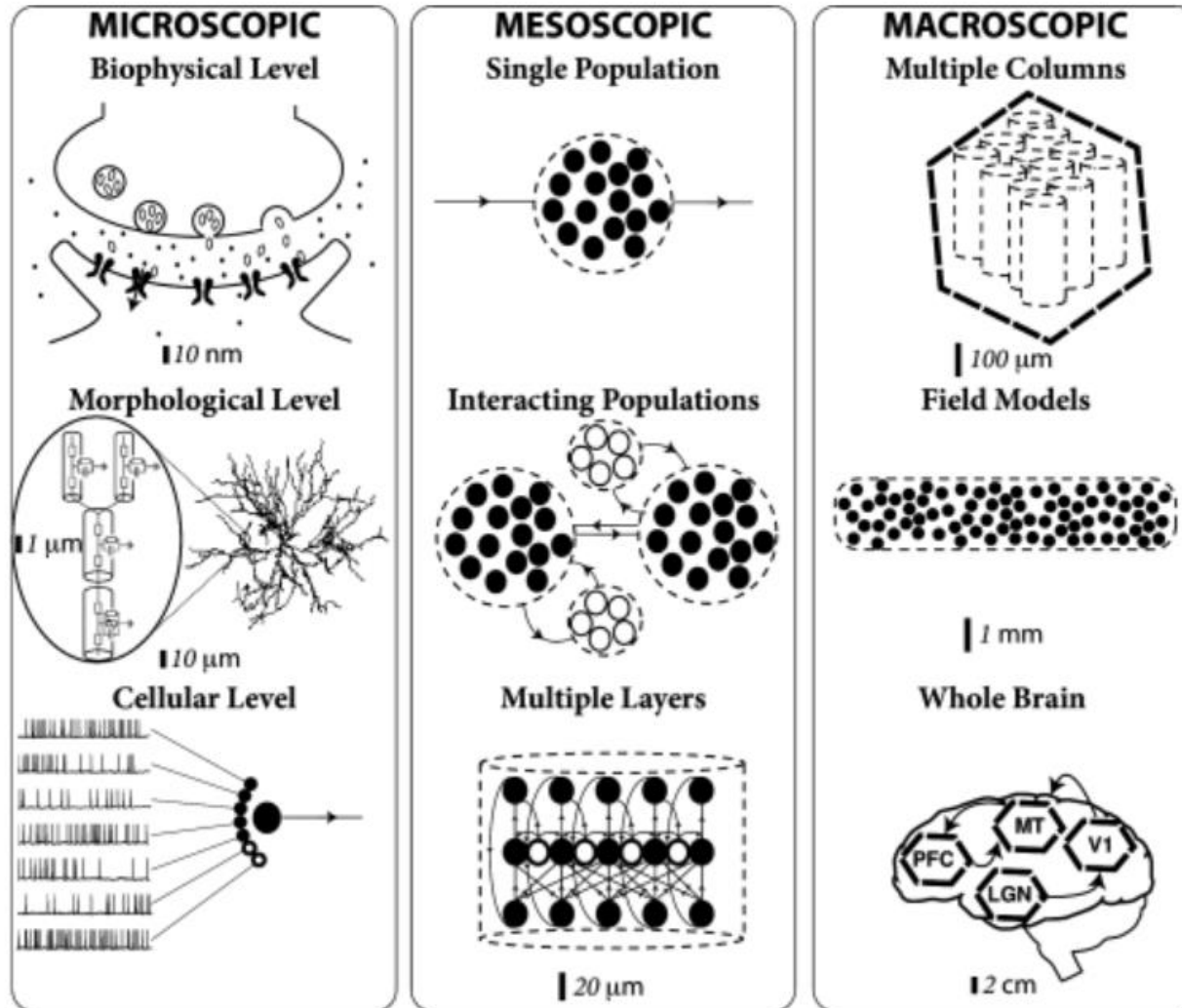
1. Начинаем с  $m_0$  вершин
2. На шаге  $t$  добавляется новая вершина с  $m$  ребрами
3. Вероятность присоединения ребра к вершине  $i$  равна

$$P(k_i) = \frac{k_i}{\sum_{j=1}^{N-1} k_j}$$

$k_i$  – степень вершины  $i$



# Сетевая организация мозга

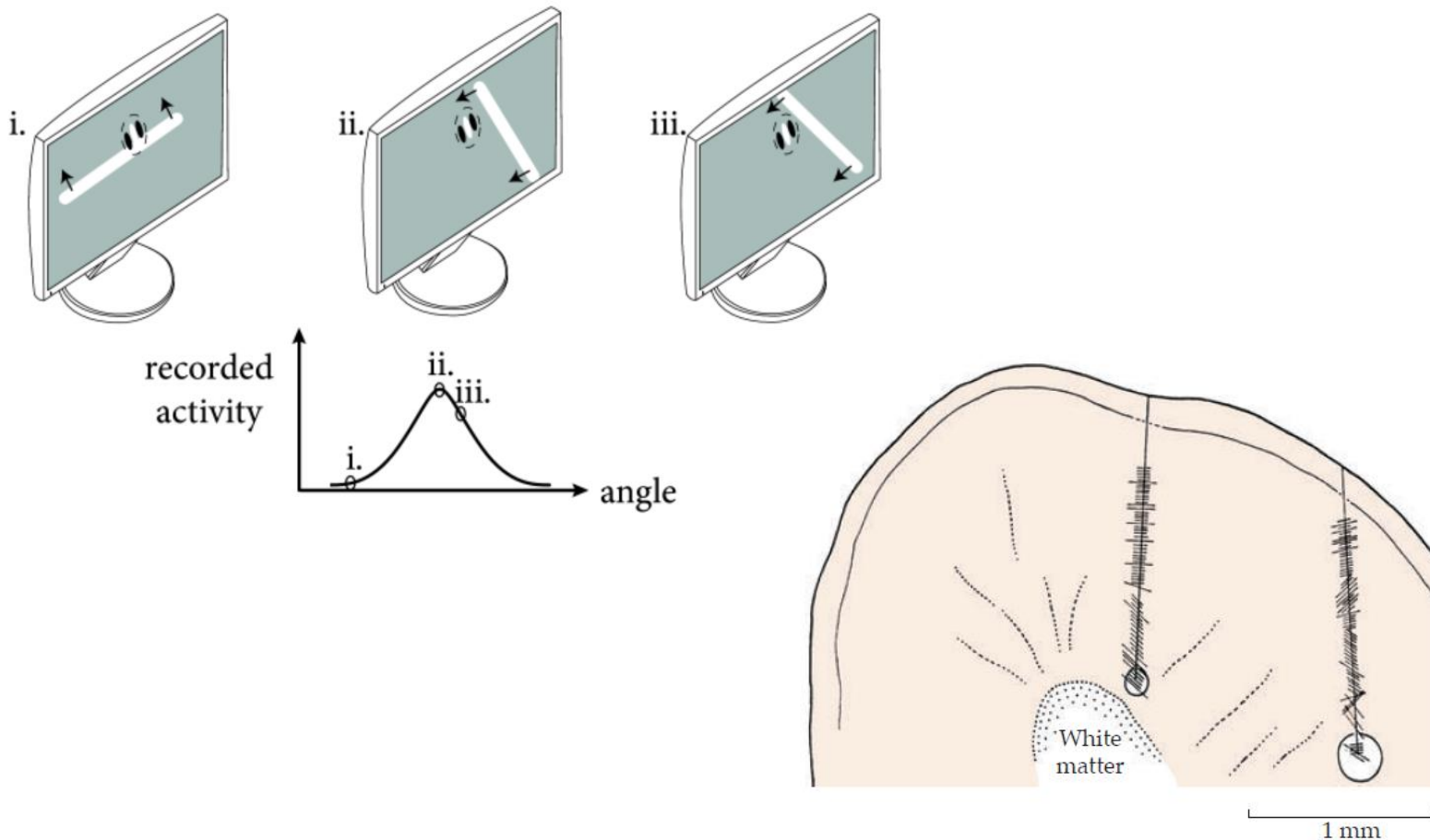




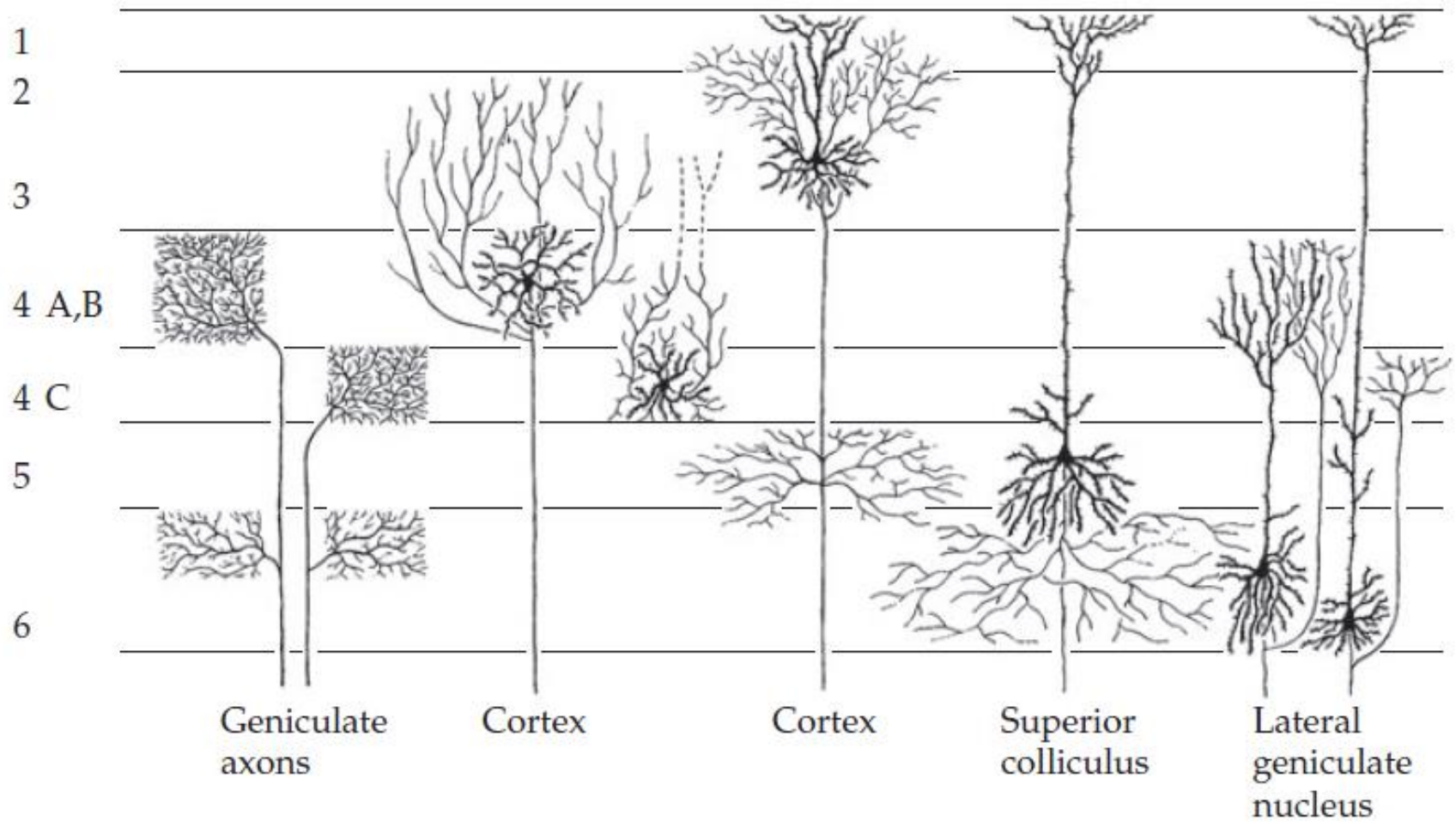
# Колонки

## Колонка (column, macroscolumn)

Группа нейронов неокортекса, которые расположены рядом и имеют общее рецептивное поле.

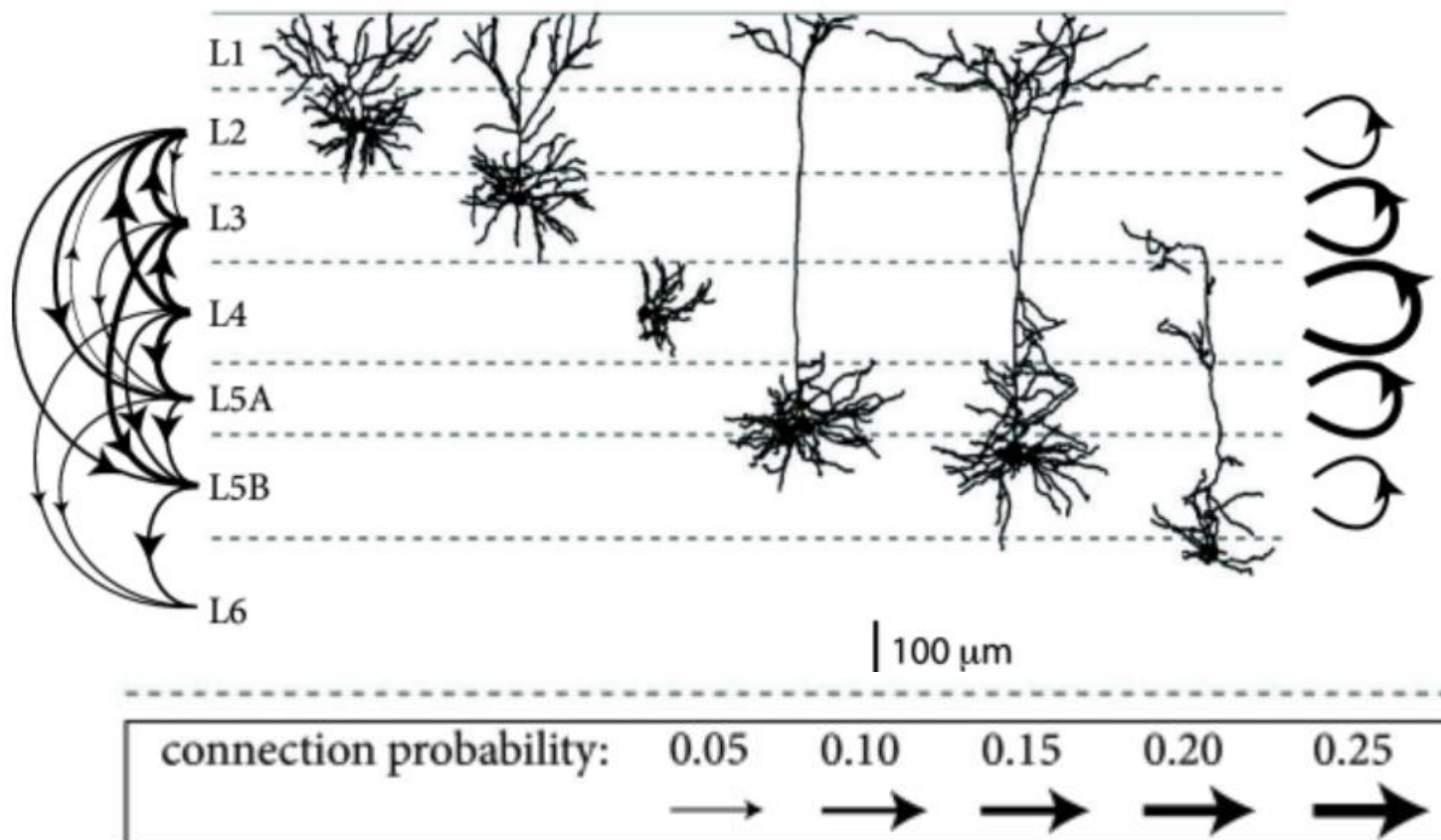


# Структура колонки

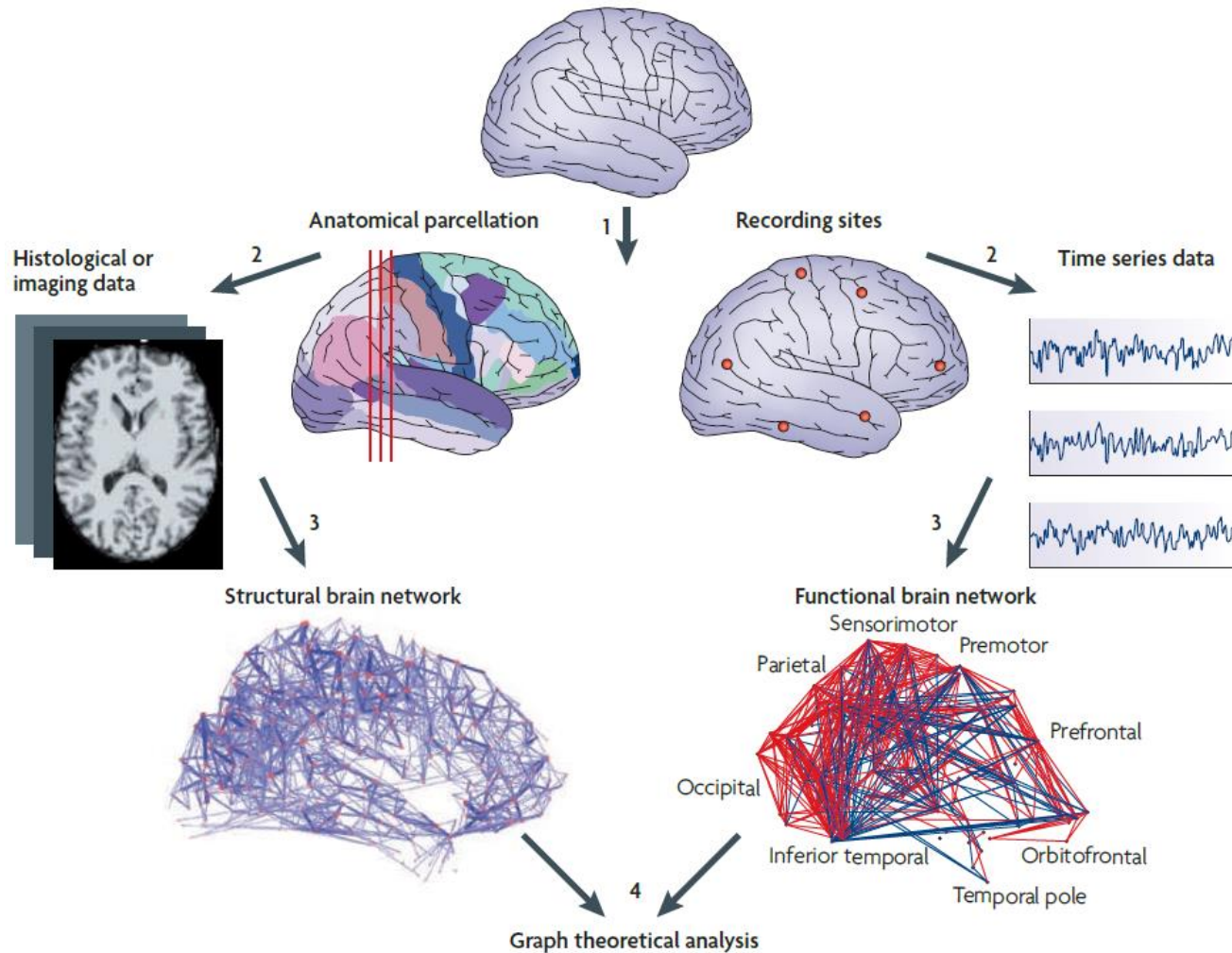


# Связность в колонке

Колонки часто моделируют как несколько взаимодействующих популяций нейронов, каждая из которых представлена случайным графом



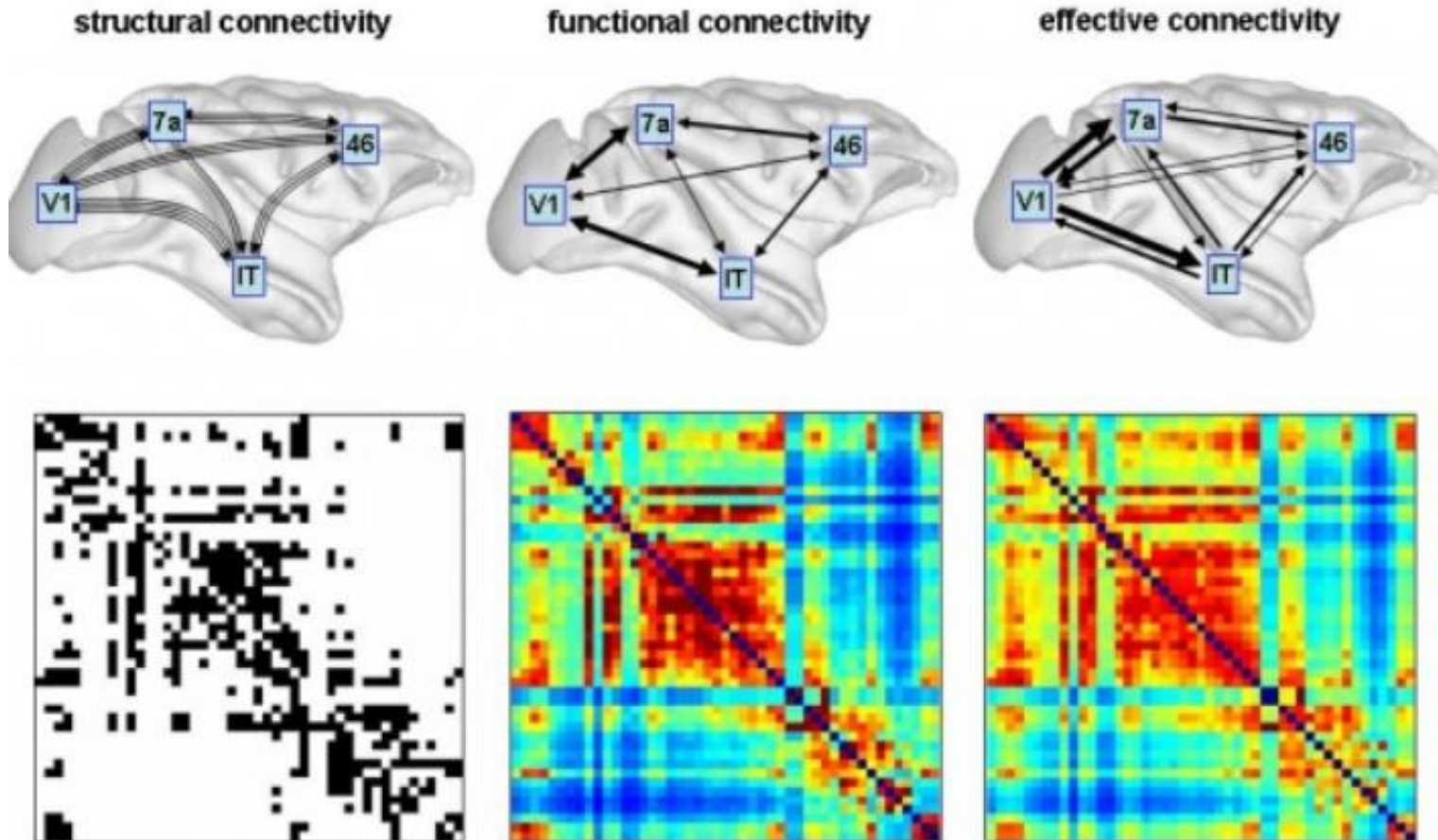
# Крупные участки мозга. Коннектом



Bullmore, E., & Sporns, O. (2009). Complex brain networks: graph theoretical analysis of structural and functional systems. *Nature reviews neuroscience*, 10(3), 186-198.

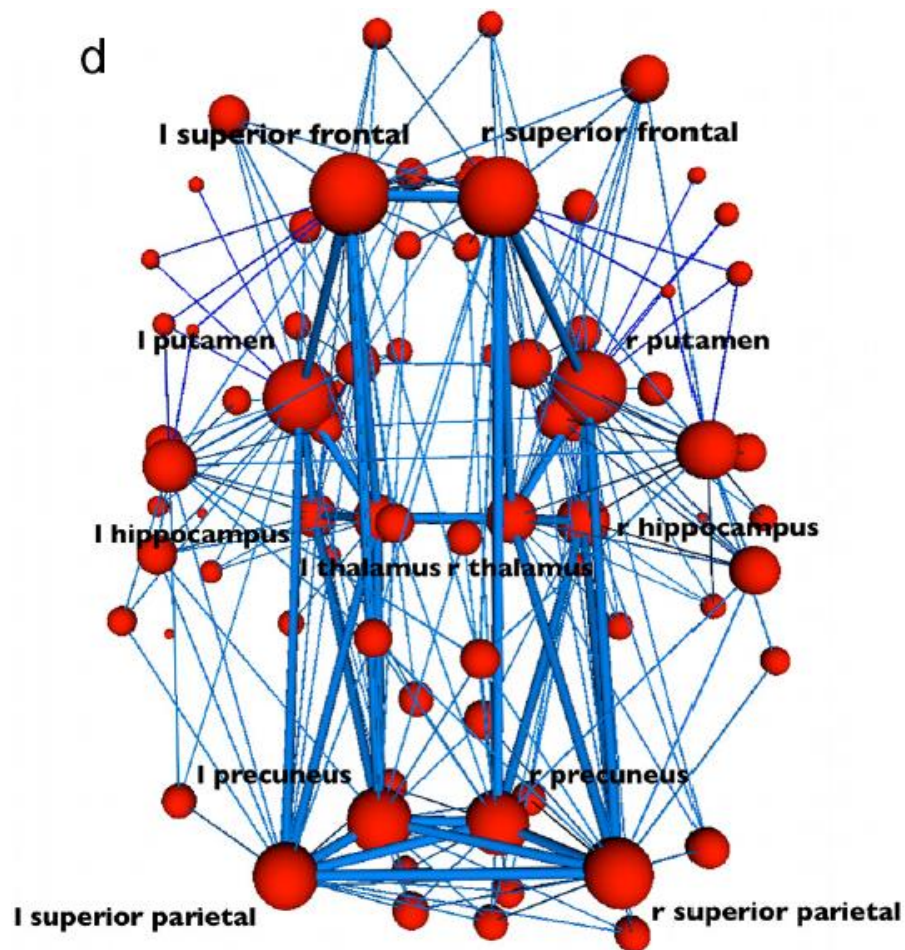


# Виды связей



Rubinov, M., & Sporns, O. (2010). Complex network measures of brain connectivity: uses and interpretations. *Neuroimage*, 52(3), 1059-1069.

# Коннектом как сложная сеть



Свойства коннектома

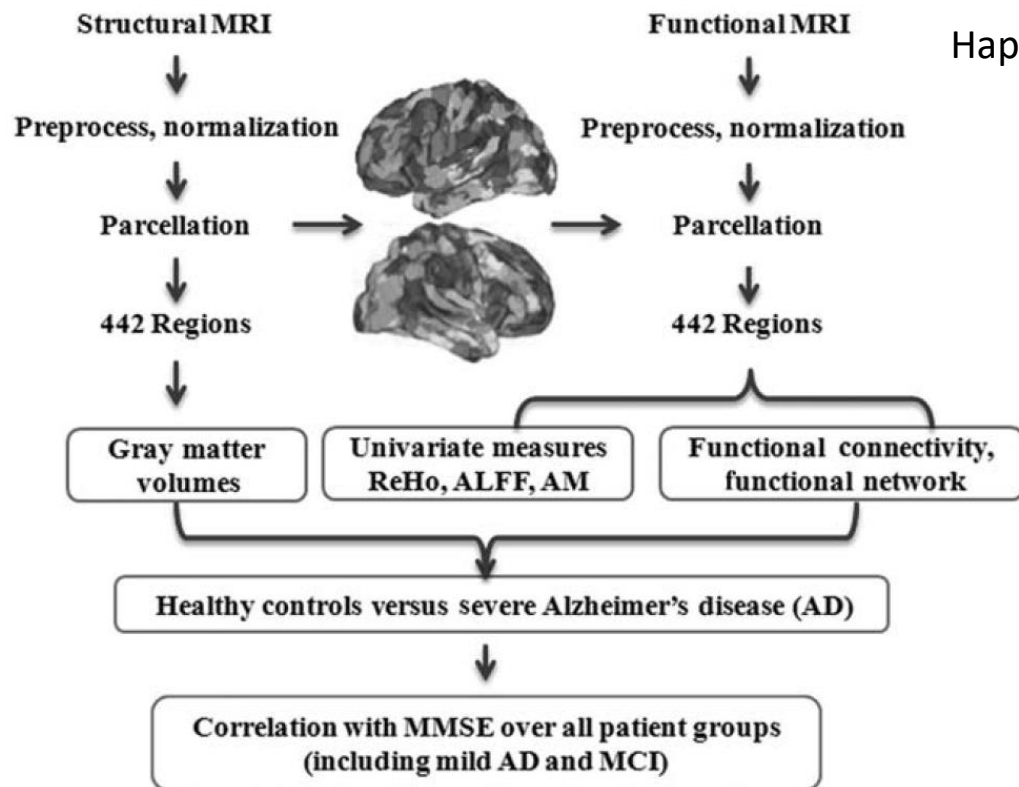
1. Тесный мир
2. Модулярность
3. «Клуб богатых»

Van Den Heuvel, M. P., & Sporns, O. (2011). Rich-club organization of the human connectome. *Journal of Neuroscience*, 31(44), 15775-15786.

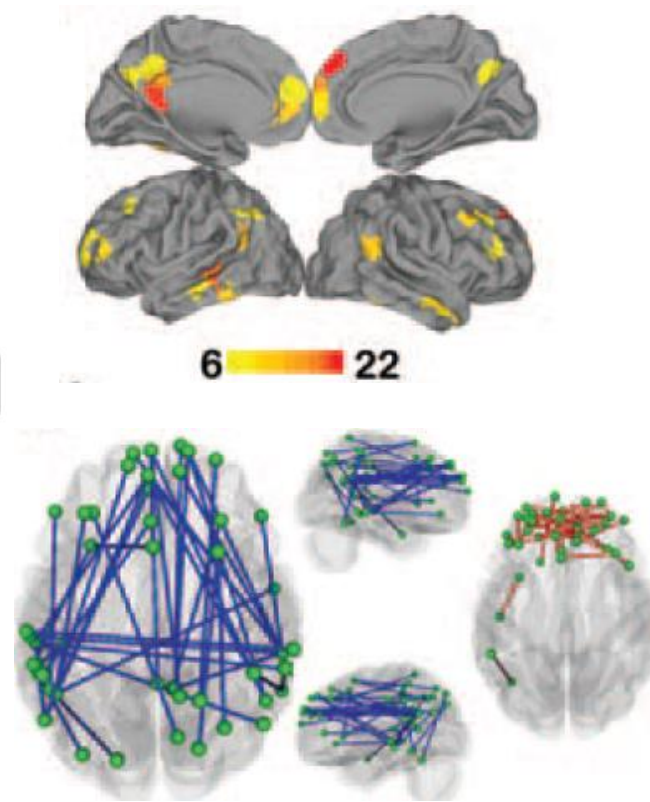
# Приложения в медицине

Baronchelli et.al. *Networks in Cognitive Science*. – 2013

Y. Liu et.al. *Impaired Long Distance Functional Connectivity and Weighted Network Architecture in Alzheimer's Disease*. – 2013



Нарушение связности при болезни Альцгеймера



## **Уровни организации мозга**

Слои колонок (случайный граф)

Колонки (послойные случайные графы)

Крупные области (коннектом – сложная сети)

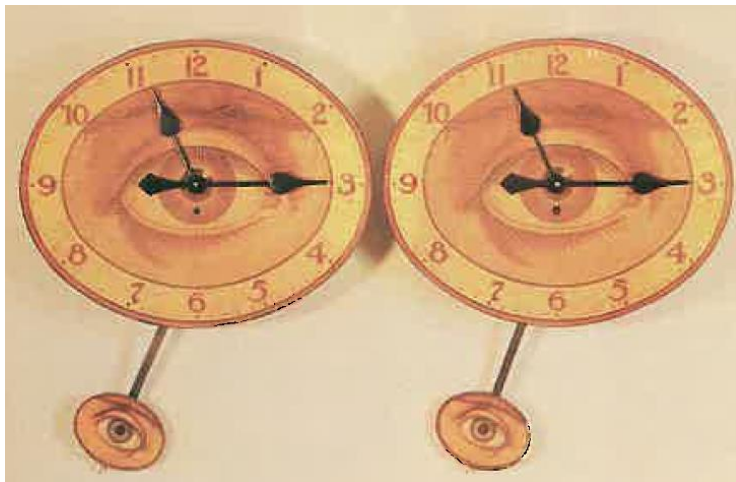
## **Исследовательские вопросы**

1. Как происходит синхронизация в такой сети
2. Как влияют повреждения на синхронизацию



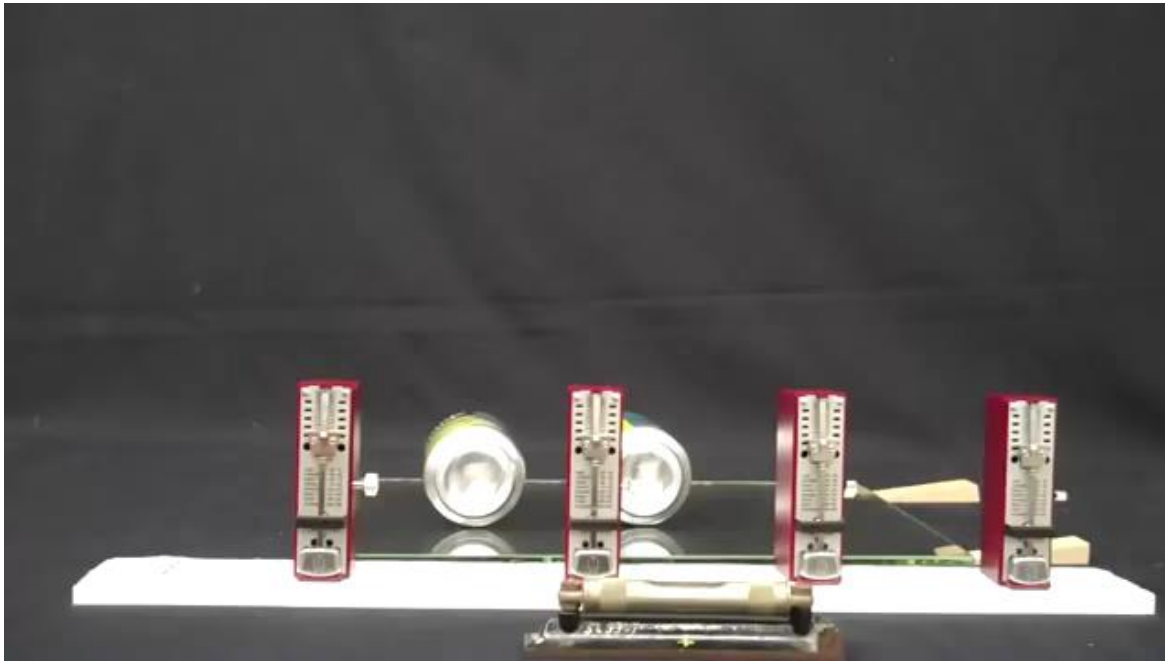
# Синхронизация

Первооткрывателем считается Кристиан Гюйгенс, который заметил, что у часов, висящих рядом на стене, маятники всегда начинают раскачиваться синхронно.



S. Strogatz & Y. Stewart *Coupled Oscillators and Biological Synchronization*, Scientific American, 1993

# Синхронизация



[https://en.wikipedia.org/wiki/File:Wesphysdemo\\_-\\_Synchronized\\_Metronomes.webm](https://en.wikipedia.org/wiki/File:Wesphysdemo_-_Synchronized_Metronomes.webm)

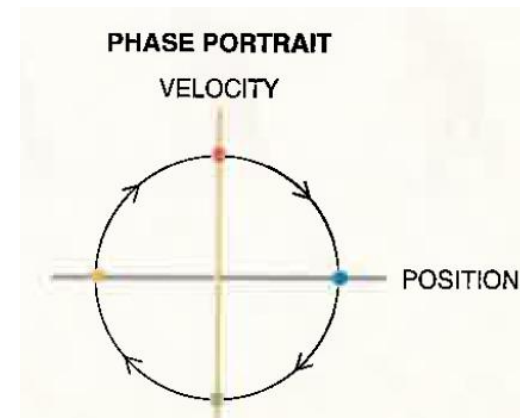
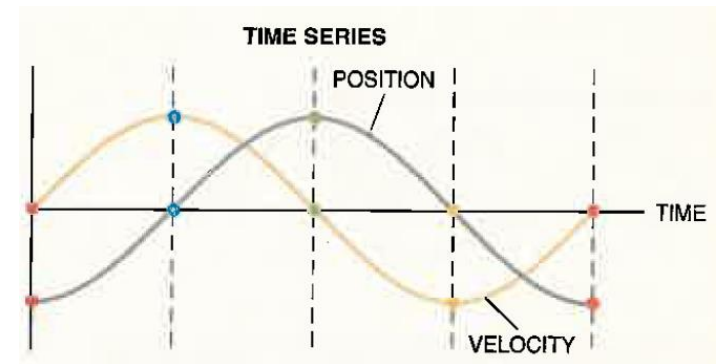
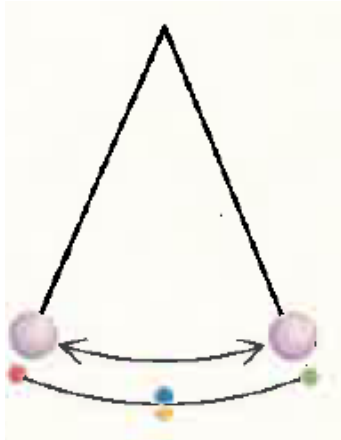
# Примеры

В биологии, химии и физике есть множество примеров, когда отдельные элементы системы синхронизируют свое поведение без внешнего управления

- Мерцание светлячков
- Сокращения клеток сердечной мышцы
- Циркадные ритмы, в которых клетки синхронизируют свои внутренние молекулярные реакции
- Электрогенераторы, подключенные к одной сети
- Колебательные химические реакции (Белоусова-Жаботинского)

S. Strogatz & Y. Stewart *Coupled Oscillators and Biological Synchronization*, Scientific American, 1993

# Периодические процессы



Периодический процесс движется по замкнутой траектории в фазовом пространстве

Состояние однозначно описывается *фазой* процесса

# Периодически спайкующий нейрон

**Изолированный нейрон:**

$$\dot{x}_i = f_i(x_i)$$

Если  $f_i(x_i) > 0$  для  $x_i \in [0, 1]$ , то нейрон спайкует, будучи изолированным от сети

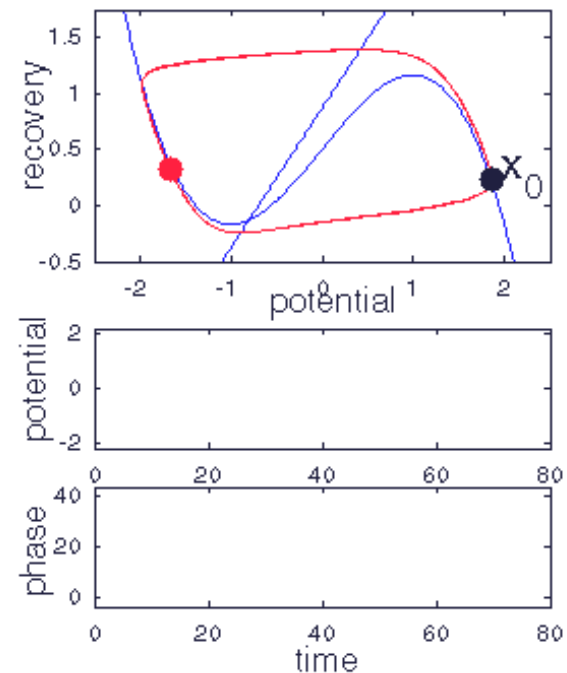
**Период:**

$$T_i = \int_0^1 \frac{dx}{f_i(x)}$$

**Частота:**

$$\Omega_i = \frac{2\pi}{T_i}$$

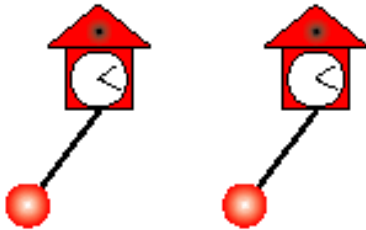
Нейрон ФитцХью – Нагумо:



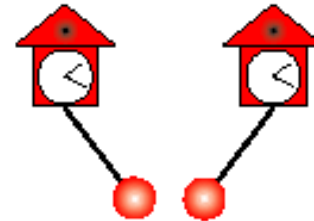
# Периодические процессы

Синхронизация – разность фаз между двумя процессами постоянна

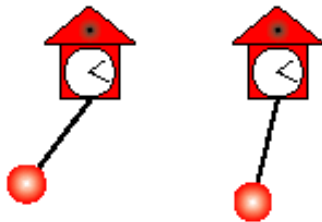
*Синфазные  
колебания*



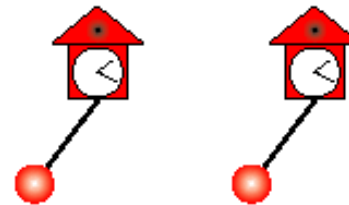
*В противофазе*



*Постоянный сдвиг фаз*



*Нет синхронизации*



# Модель Курамото (1975)

$$\dot{\theta}_i = \omega_i + \sum_{j=1}^N \Gamma_{ij}(\theta_j - \theta_i), \quad i = 1, \dots, N$$

$\theta_i$  — фаза  $i$ -го осциллятора

$\omega_i$  — собственная частота  $i$ -го осциллятора

$\Gamma_{ij}$  — функция влияния.

В самом простом случае

$$\Gamma_{ij}(\theta_j - \theta_i) = \frac{K}{N} \sin(\theta_j - \theta_i).$$

*S. Strogatz From Kuramoto to Crawford: exploring the onset of synchronization in populations of coupled oscillators, Physica D, 2000*

# Модель Курамото (1975)

$$\dot{\theta}_i = \omega_i + \frac{K}{N} \sum_{j=1}^N \sin(\theta_j - \theta_i), \quad (1)$$

Пусть  $g(\omega)$  – распределение собственных частот.

Предполагается, что  $g(\omega)$  симметрично вокруг  $\Omega$  - средней частоты:

$$g(\Omega - \omega) = g(\Omega + \omega)$$

Можно сделать замену  $\theta_i \rightarrow \theta_i + \Omega t$

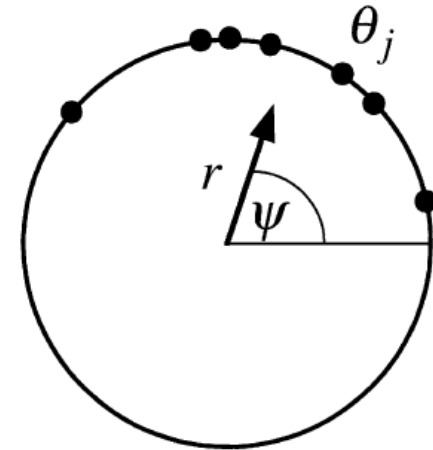
Тогда средняя частота равна 0 и  $g(-\omega) = g(\omega)$ .

Уравнение (1) остается неизменным



# Мера упорядоченности (order parameter)

$$r e^{i\psi} = \frac{1}{N} \sum_{j=1}^N e^{i\theta_j}$$



$0 \leq r \leq 1$  – мера упорядоченности колебаний

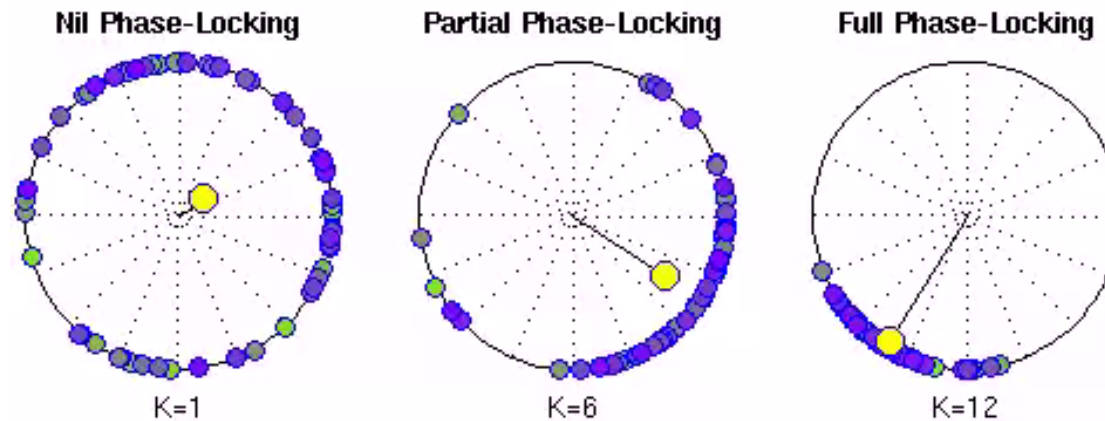
$\Psi$  – средняя фаза колебаний

Уравнение (1) теперь можно преобразовать в

$$\dot{\theta}_i = \omega_i + Kr \sin(\psi - \theta_i) \quad (2)$$

Получается, что на каждый отдельный осциллятор влияют средние значения:  $r$  и  $\Psi$ .

## Kuramoto Oscillators

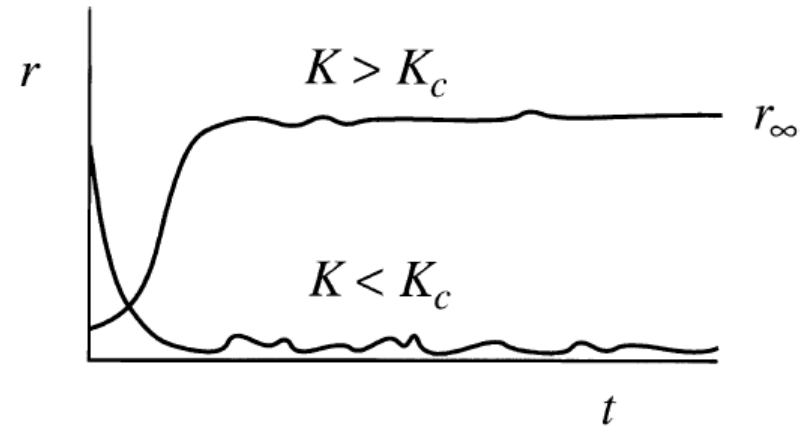


Nil, partial and full phase-locking in an all-to-all network of Kuramoto oscillators. Phase-locking is governed by the coupling strength  $K$  and the distribution of intrinsic frequencies  $\omega$ . Here, the intrinsic frequencies were drawn from a normal distribution ( $M=0.5\text{Hz}$ ,  $SD=0.5\text{Hz}$ ). The yellow disk marks the phase centroid. Its radius is a measure of coherence.

# Переход от неупорядоченного движения к синхронизации

Возможные состояния модели:

1. **Неупорядоченное (incoherent)** – фазы осцилляторов распределены равномерно по окружности
2. **Частичная синхронизация** – часть осцилляторов синхронизировалась
3. **Полная синхронизация** – все осцилляторы колеблются с одной частотой

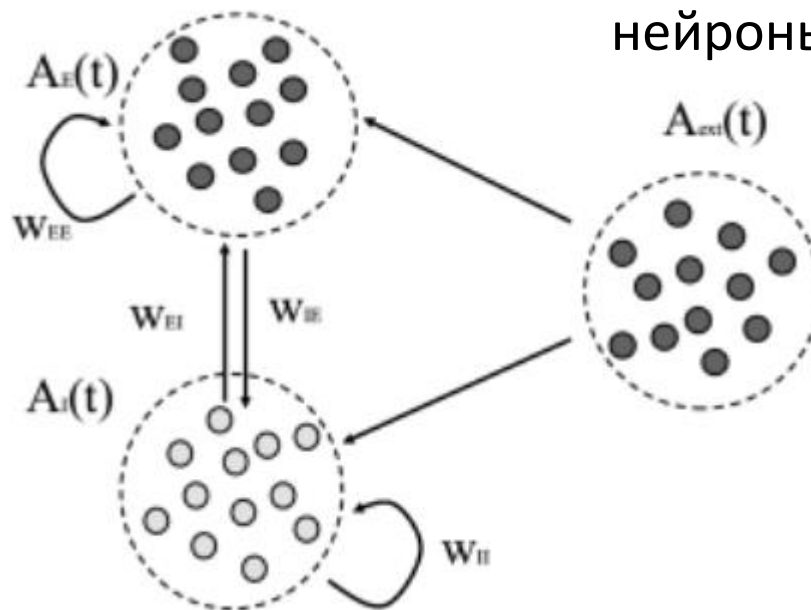


# Синхронизация в популяции

## Brunel network

Возбуждающие нейроны  $N_E$

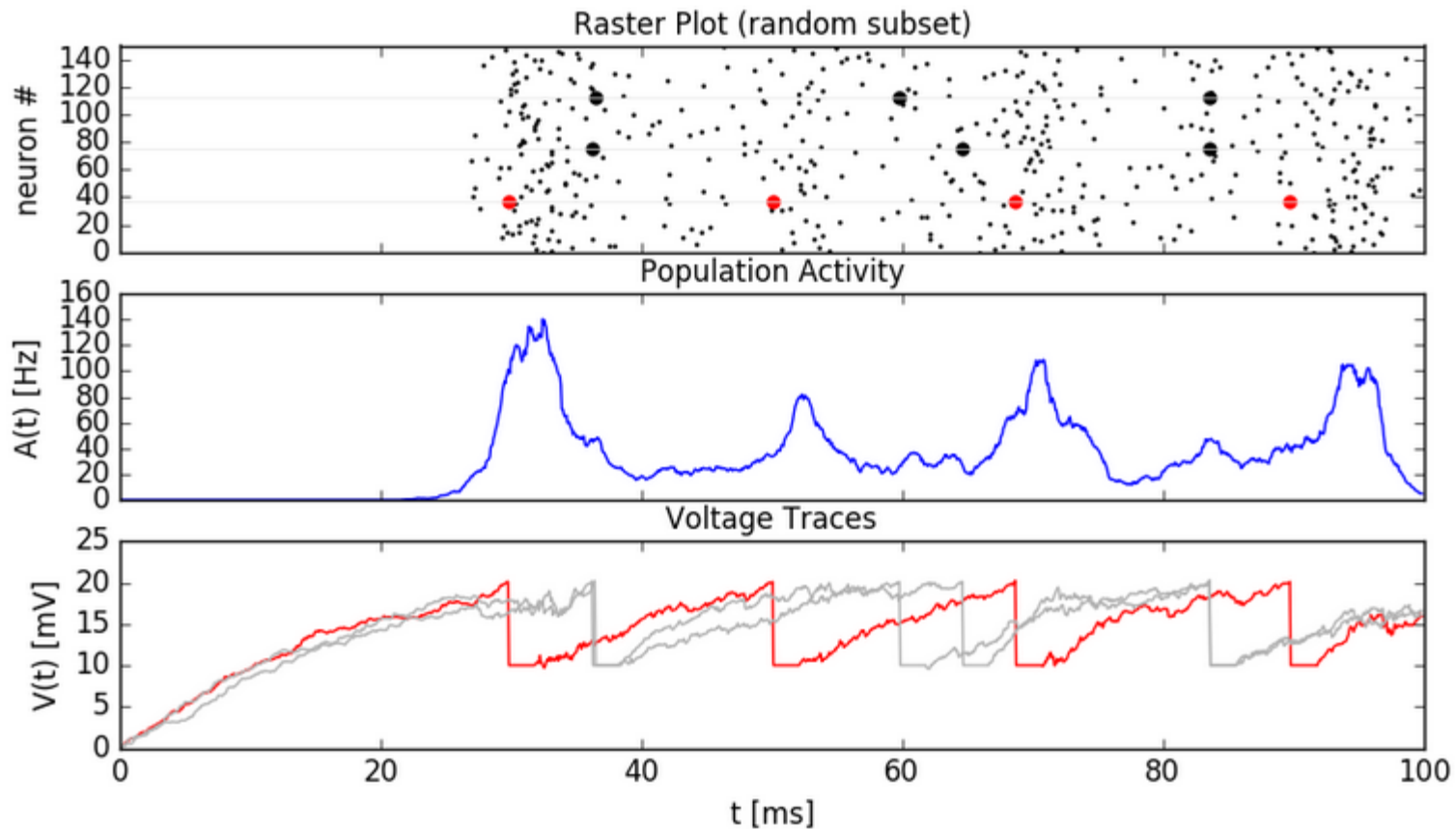
Внешние  
возбуждающие  
нейроны



Тормозящие нейроны  $N_I$

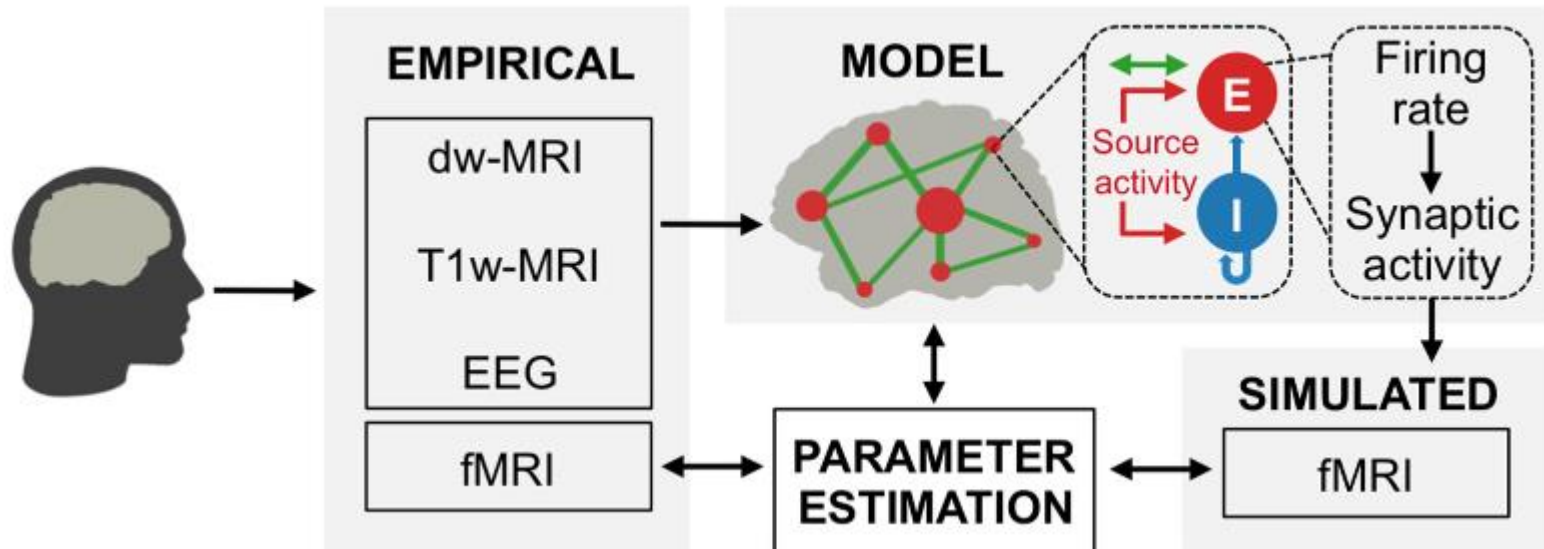
<https://neurondynamics-exercises.readthedocs.io/en/latest/exercises/brunel-network.html>

# Синхронизация в популяции



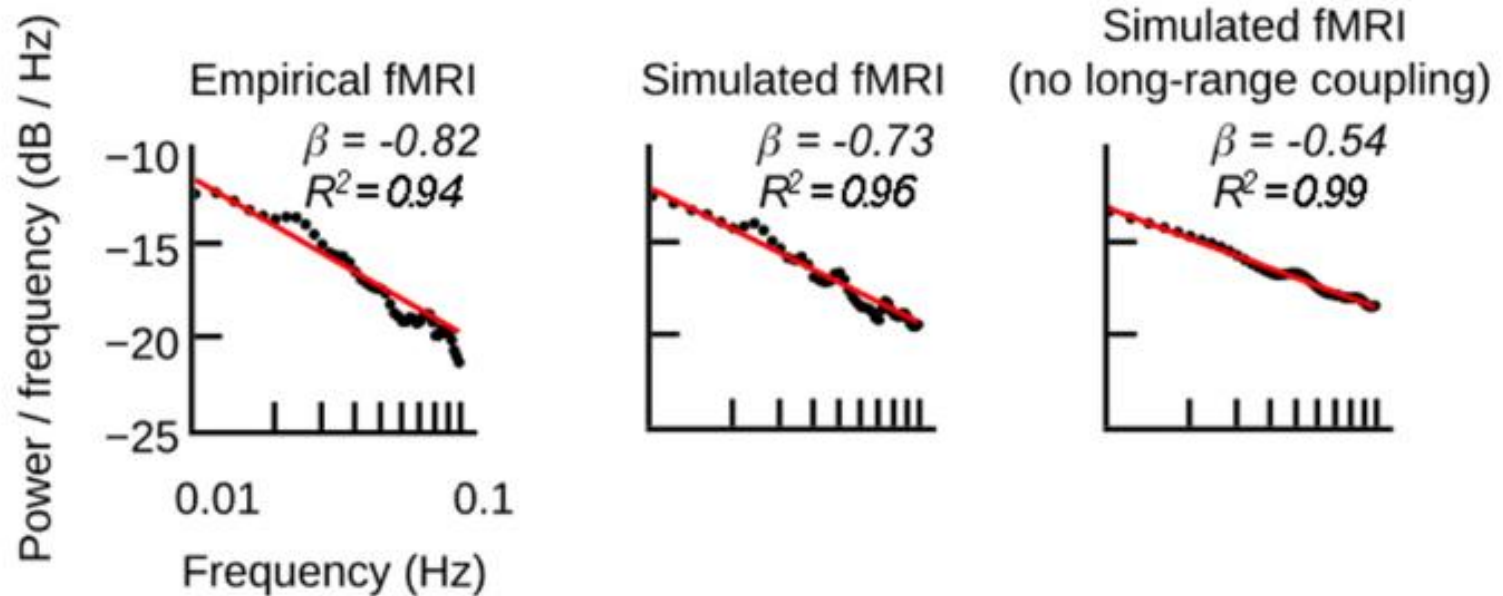
<https://neurondynamics-exercises.readthedocs.io/en/latest/exercises/brunel-network.html>

# Приложения. Симуляция ритмов



Schirner, M., McIntosh, A. R., Jirsa, V., Deco, G., & Ritter, P. (2018). Inferring multi-scale neural mechanisms with brain network modelling. *Elife*, 7, e28927.

# Приложения. fMRI <-> EEG



Schirner, M., McIntosh, A. R., Jirsa, V., Deco, G., & Ritter, P. (2018). Inferring multi-scale neural mechanisms with brain network modelling. *Elife*, 7, e28927.

# Заключение

1. Сети мозга обладают характерной топологией
  1. Случайные графы на уровне колонки
  2. Тесный мир и клуб богатых на уровне крупных участков
2. Модели простых I&F нейронов позволяют исследовать синхронизацию в таких сетях
3. Приложения
  1. Моделирование ритмов fMRI, EEG
  2. Диагностика заболеваний?



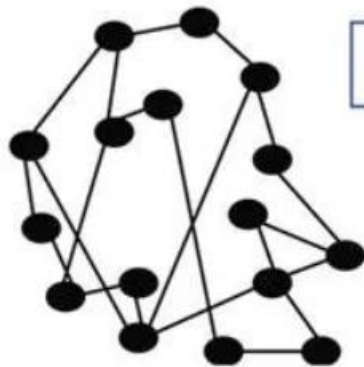
# Исследование нестандартной топологии сети

В сети спайкующих нейронов исследовать возникновение синхронных колебаний. Создать сеть со сложной топологией:

scale-free или small-world.

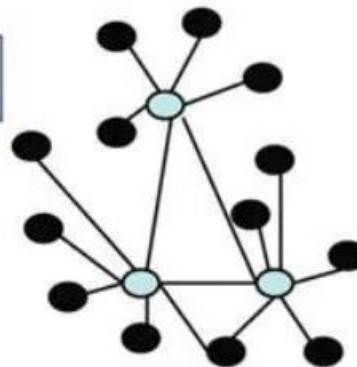
Исследовать, какое влияние на синхронизацию оказывает расположение нейрона в сети.

Random Network

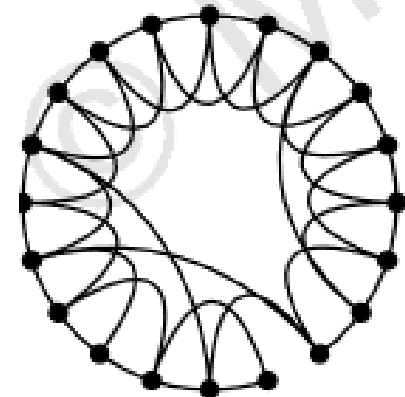


$k = \text{degree or \# nodal connections}$

Scale-free Network



Small-world



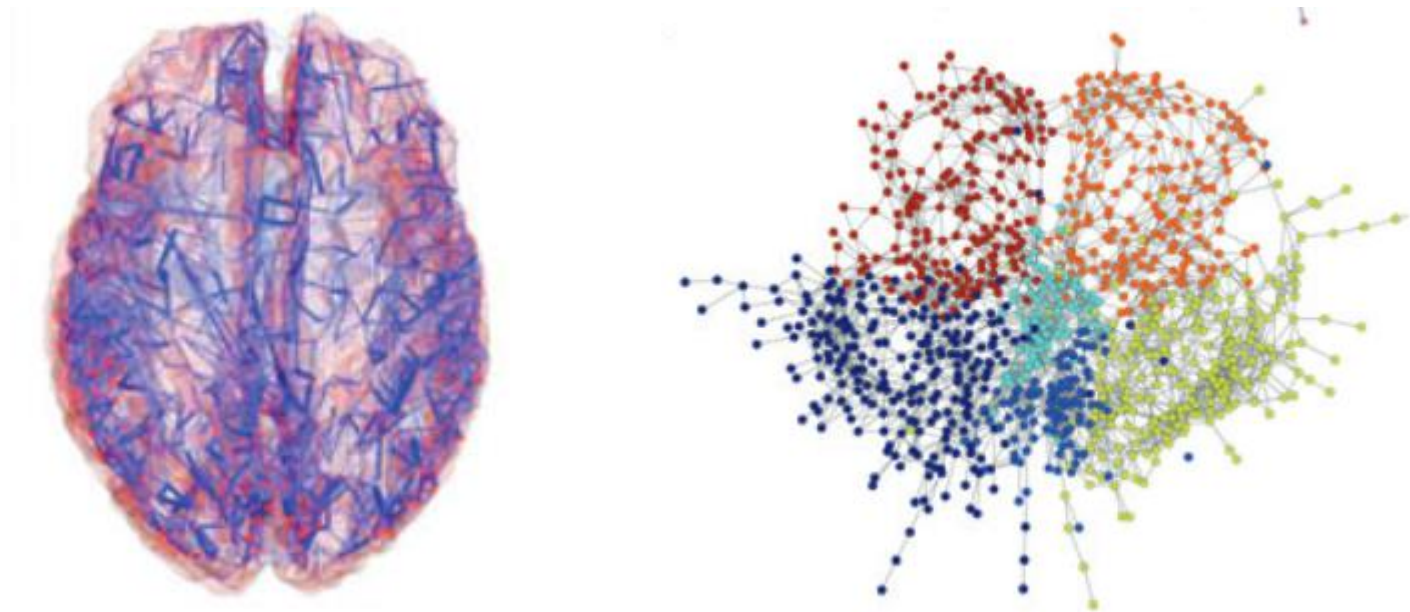
Roxin, A., Riecke, H., & Solla, S. A. (2004). Self-sustained activity in a small-world network of excitable neurons. *Physical review letters*, 92(19), 198101.

<https://arxiv.org/pdf/nlin/0309067.pdf>

# Исследование нестандартной топологии сети

Мотивация: мозг это сеть «тесного мира», а не случайный граф.

Сети тесного мира позволяют получить короткое расстояние между узлами при небольшом числе связей



Sporns, O. (2011). The human connectome: a complex network. *Annals of the new York Academy of Sciences*, 1224(1), 109-125.